

# Analisis Kapabilitas Proses Produksi Pupuk Super Dolomit di PT Polowijo Gosari Gresik

**Disusun Oleh :**

Dimas Fashihatn

1313030037

**Dosen Pembimbing :**

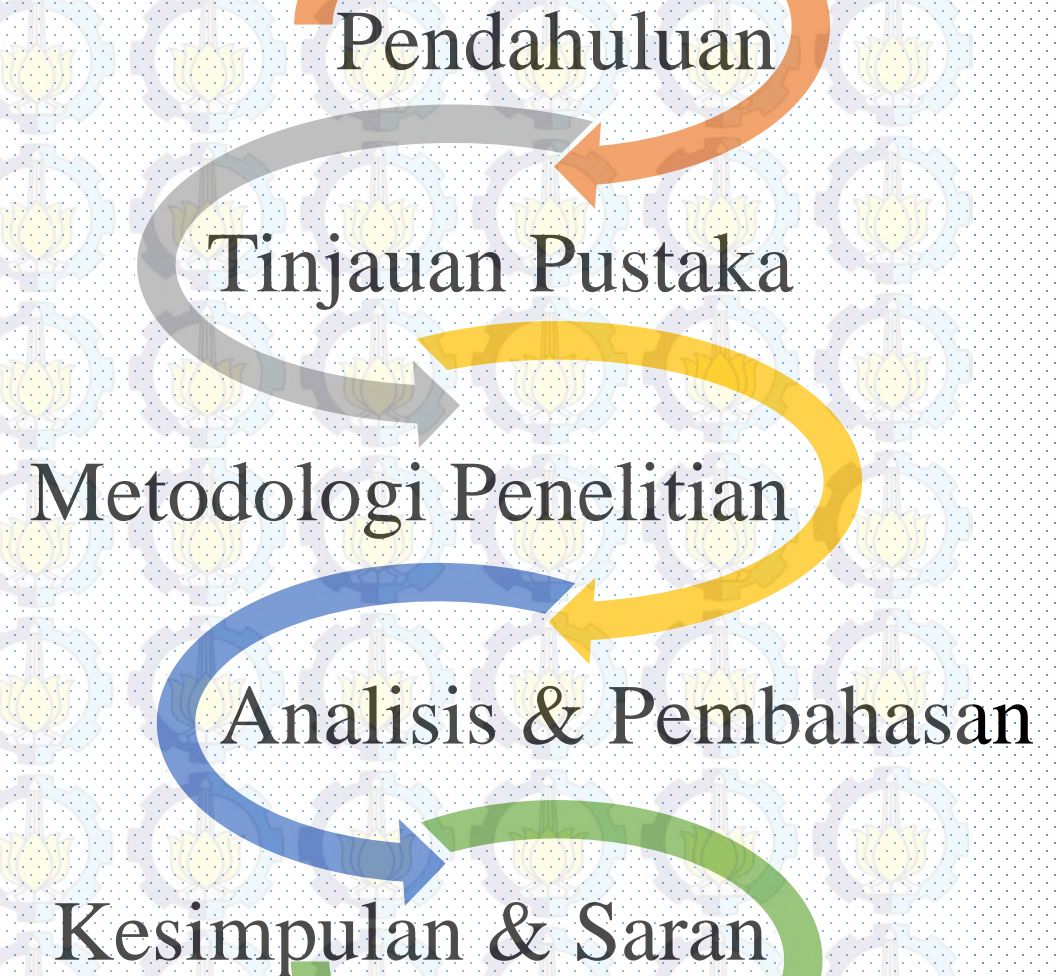
Dra. Lucia Aridinanti, MT

**PROGRAM STUDI DIPLOMA III  
JURUSAN STATISTIKA**

**FAKULTAS MATEMATIKA DAN ILMU PENGETAHUAN ALAM  
INSTITUT TEKNOLOGI SEPULUH NOPEMBER  
SURABAYA 2016**



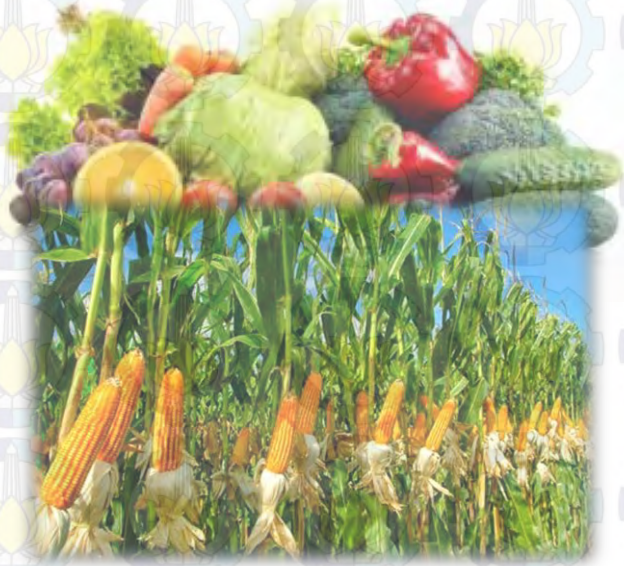
# OUTLINE



The background features a grid of repeating logos, each consisting of a gear with a lotus flower inside. The logos are semi-transparent and change color across the grid. In the background, there are several colorful balloons in shades of purple, blue, red, and green. A dark blue horizontal bar is positioned across the middle of the page.

# PENDAHULUAN

Latar Belakang



Rumusan Masalah

Tujuan Penelitian

Batasan Masalah

Manfaat Penelitian



HiQ  
HIGH QUALITY



PT. POLOWIJO GOSARI



Data Variabel



Peta Kendali  
*Generalized Variance & T<sup>2</sup> Hotelling*

Kapabilitas Proses

# PENELITIAN TERKAIT

Latar Belakang

Rumusan Masalah

Tujuan Penelitian

Batasan Masalah

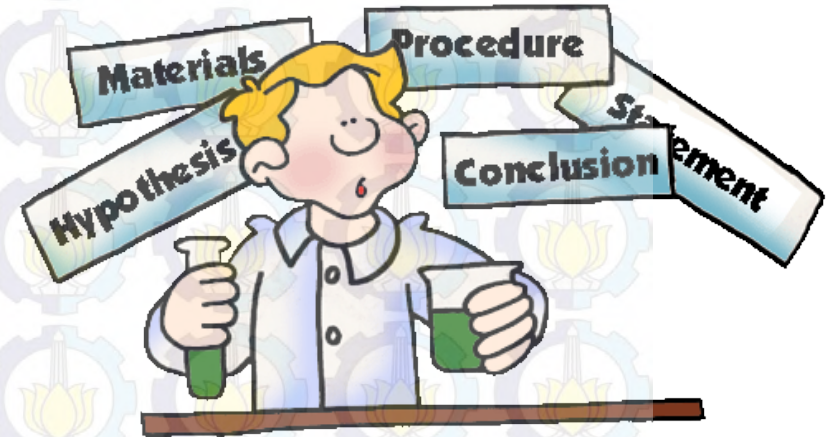
Manfaat Penelitian

**Mufidah, A.S (2014)**

“Pengendalian Kualitas Statistik Produk Pupuk Phonska di PT Petrokimia Gresik Tbk.”

**Tools**

Peta kendali *Generalized Variance* dan  $T^2$  Hotelling



fase 1 dan 2 serta *Generalized Variance* fase 2 yang telah terkendali sebagai tolok ukur

Latar Belakang

Rumusan Masalah

Tujuan Penelitian

Batasan Masalah

Manfaat Penelitian

PT Polowijo Gosari melakukan pengendalian kualitas pupuk super dolomit hanya dengan membandingkan kedua karakteristik kualitas yang berhubungan dengan batas spesifikasi yang telah ditentukan.



berapa indeks **kapabilitas proses** produksi pupuk super dolomit?

Latar Belakang

Rumusan Masalah

Tujuan Penelitian

Batasan Masalah

Manfaat Penelitian



statistics



Mengetahui indeks kapabilitas proses produksi pupuk super dolomit

Latar  
Belakang

Rumusan  
Masalah

Tujuan  
Penelitian

Batasan  
Masalah

Manfaat  
Penelitian

Penelitian difokuskan pada **proses filter** produksi pupuk super dolomit di PT Polowijo Gosari

**Data** yang digunakan adalah data sekunder hasil pengukuran proses produksi pupuk super dolomit di PT Polowijo Gosari yang digunakan pada penelitian ini adalah hanya pada periode **Fase 1** Desember 2015 **Fase 2** Januari 2016



**Latar Belakang**

bisa menjadi **informasi** di PT Polowijo Gosari Gresik dalam rangka **pelaksanaan program peningkatan kualitas**

**Rumusan Masalah**

**produksi** pupuk super dolomit apabila terjadi ketidaksesuaian berdasarkan metode **analisis kapabilitas proses**

**Tujuan Penelitian**

dapat memberikan **saran atau rekomendasi** untuk perusahaan dari **hasil analisis** yang dilakukan untuk

**Batasan Masalah**

membantu perusahaan dalam **menyelesaikan masalah** yang kaitannya dengan **pengendalian kualitas**

**Manfaat Penelitian**

hasil dari penelitian ini dapat dimanfaatkan sebagai **referensi** untuk **penelitian-penelitian selanjutnya.**

The background features a grid of repeating logos, each consisting of a gear with a lotus flower inside. The logos are semi-transparent and color-coded in a rainbow gradient from left to right. On the right side, there are several colorful balloons in shades of purple, blue, red, and green, some in focus and some blurred.

# TINJAUAN PUSTAKA

**Analisis  
Kapabilitas**

**Statistika  
Deskriptif**

**Peta  
Kendali**

**Indeks  
Kapabilitas  
Proses**

**Proses  
Produksi**

Kapabilitas proses adalah suatu analisis guna menaksir kemampuan proses.



Memenuhi  
batas  
spesifikasi

Tingkat  
presisi ( $C_p$ )  
dan akurasi  
tinggi ( $C_{pk}$ ).

Terkendali  
secara  
statistik

Analisis  
Kapabilitas

Statistika  
Deskriptif

Peta  
Kendali

Indeks  
Kapabilitas  
Proses

Proses  
Produksi

Rata-rata

Rata-rata  
sebagai j  
deng

$$\bar{x} = \frac{\sum_{i=1}^n x_i}{n} = \frac{x_1 + x_2 + \dots + x_n}{n}$$

Min & Max

Nilai maksimum adalah nilai terbesar atau nilai tertinggi pada suatu gugus data. Nilai minimum adalah nilai terkecil pada suatu gugus data.

Varians

Varians  
statistik  
menj

$$s^2 = \sum_{i=1}^n \frac{(x_i - \bar{x})^2}{n-1}$$

Histogram

Distribusi frekuensi sering pula disebut sebagai tabel frekuensi. Bentuk penyajian ini, data yang semula masih mentah (termasuk data yang telah diurutkan), disusun dalam kelompok-kelompok data atau kelas-kelas data tertentu.

Analisis  
Kapabilitas

Statistika  
Deskriptif

Peta  
Kendali

Indeks  
Kapabilitas

Proses

Proses

Produksi



Pengendalian kualitas statistik merupakan suatu **metode** untuk **memeriksa tingkat kualitas** yang sesuai dengan **spesifikasi** yang telah ditetapkan dalam suatu produk atau proses yang telah ditentukan dan dapat juga digunakan sebagai **pembanding** apakah kualitas yang dihasilkan dalam suatu proses **sudah memenuhi standart** yang telah ditentukan dan akan dilakukan tindakan dan **pencarian penyebab** apabila terjadi **penyimpangan** (Montgomery, 2009).



atau



|   | Jumlah Variabel | Jumlah Grup | Distribusi Sampling   |   |
|---|-----------------|-------------|---|---|
| $\left( \frac{\sum_{l=1}^g n_l - p}{g - p + 1} \right) \left( \frac{1 - \sqrt{\Lambda^*}}{\Lambda^*} \right) \approx F_{g-1, \sum_{l=1}^g n_l - p - 1}$ |                 |             |   | $\dots = \tau_g = 0$<br>ada satu $\tau_l \neq 0, l = 1, 2, \dots, g$                              |
| <b>Analisis Kapabilitas</b><br><b>Statistika Deskriptif</b>   | $p = 1$         | $g \geq 2$  | $\left( \frac{\sum_{l=1}^g n_l - g}{g - 1} \right) \left( \frac{1 - \Lambda^*}{\Lambda^*} \right) \approx F_{g-1, \sum_{l=1}^g n_l - g}$                                    | $\sum_{l=1}^g \sum_{t=1}^{n_l} (\bar{x}_{lt} - \bar{\bar{x}}_l)(\bar{x}_{lt} - \bar{\bar{x}}_l)'$ |
| <b>Peta Kendali</b>   | $p = 2$         | $g \geq 2$  | $\left( \frac{\sum_{l=1}^g n_l - g - 1}{g - 1} \right) \left( \frac{1 - \sqrt{\Lambda^*}}{\Lambda^*} \right) \approx F_{2(g-1), 2 \left( \sum_{l=1}^g n_l - g - 1 \right)}$ | <b>Sum of Squares and Cross</b><br>$\sum_{l=1}^g (\bar{\bar{x}}_l - \bar{\bar{x}})'$              |
| <b>Indeks Kapabilitas Proses</b>  | $p \geq 1$      | $g = 2$     | $\left( \frac{\sum_{l=1}^g n_l - p - 1}{p} \right) \left( \frac{1 - \Lambda^*}{\Lambda^*} \right) \approx F_{p, \sum_{l=1}^g n_l - p - 1}$                                  | <b>Degree of Freedom (d.f)</b><br>$\sum_{l=1}^g n_l - g$  |
| <b>Proses Produksi</b>  | $p \geq 1$      | $g = 3$     | $\left( \frac{\sum_{l=1}^g n_l - p - 2}{p} \right) \left( \frac{1 - \sqrt{\Lambda^*}}{\Lambda^*} \right) \approx F_{2p, 2 \left( \sum_{l=1}^g n_l - p - 2 \right)}$         | $\sum_{l=1}^g n_l - 1$  |

Analisis  
Kapabilitas

Statistika  
Deskriptif

**Peta  
Kendali**

Indeks  
Kapabilitas

Proses

Proses  
Produksi

Peta kendali merupakan alat untuk mengawasi kualitas suatu produk yang digunakan untuk membuat batas-batas dimana hasil produksi menyimpang dari mutu yang diinginkan atau tidak (Montgomery, 2009).

Peta kendali

*Generalized Variance (GV)*

$T^2$  Hotelling



Untuk mengevaluasi varians proses pada kasus multivariat

Untuk mengevaluasi *mean* proses pada kasus multivariat



Analisis  
Kapabilitas

Statistika  
Deskriptif

Peta  
Kendali

Indeks  
Kapabilitas

Proses

Proses

Produksi

## Peta kendali GV

$$BKA = \left| \sum \left( b_1 + 3b_2^{1/2} \right) \right|$$

$$GT = b_1 \left| \sum \right|$$

$$BKB = \left| \sum \left( b_1 - 3b_2^{1/2} \right) \right|$$

$$b_1 = \frac{1}{(n-1)^p} \prod_{i=1}^p (n-i)$$

$$b_2 = \frac{1}{(n-1)^{2p}} \prod_{i=1}^p (n-i) \left[ \prod_{j=1}^p (n-j+2) - \prod_{j=1}^p (n-j) \right]$$

$$\bar{X}_{jk} = \frac{1}{n} \sum_{i=1}^n X_{ijk}$$

$$S_{jk} = \frac{1}{n-1} \sum_{i=1}^n (X_{ijk} - \bar{X}_{jk})^2$$

## Peta kendali $T^2$ Hotelling

$$T^2 = n(\bar{\mathbf{X}} - \bar{\bar{\mathbf{X}}})^Y \mathbf{S}^{-1}(\bar{\mathbf{X}} - \bar{\bar{\mathbf{X}}})$$

$$BKA = \frac{p(m-1)(n-1)}{mn-m-p+1} F_{\alpha,p,mn-m-p+1}$$

$$BKB = 0$$

$$BKA = \frac{p(m+1)(n-1)}{mn-m-p+1} F_{\alpha,p,mn-m-p+1}$$

$$BKB = 0$$

- n = Ukuran sampel 1, 2, ..., p
- P = Banyaknya karakteristik kualitas
- m = Ukuran subgrup
- l = Jumlah sampel atau ukuran subgrup sejumlah n
- j = Jumlah karakteristik kualitas sejumlah p
- k = Jumlah subgrup sejumlah m
- $\bar{x}$  = Vektor rata-rata tiap subgrup
- $\bar{\bar{x}}$  = Vektor rata-rata
- $X_{ijk}$  = Pengamatan ke-i pada karekteristik kualitas ke-j dan subgrup ke-k.



Analisis  
Kapabilitas

Statistika  
Deskriptif

Peta  
Kendali

Indeks  
Kapabilitas

Proses

Proses

Produksi

**Analisis multivariat** merupakan analisis statistika yang digunakan pada pengamatan yang memiliki **lebih dari satu variabel**, dimana antarvariabel tersebut **saling berkorelasi** (Johnson & Winchern, 2007).

Asumsi

Normal  
Multivariat

Dependensi  
antarvariabel

# DEPENDENSI VARIABEL

Variabel  $X_1$  dan  $X_2$  merupakan dua variabel karakteristik kualitas yang ingin diketahui hubungan antara keduanya. Pengujian kebebasan antar dua variabel ini dapat digunakan korelasi *pearson*.

Korelasi Pearson

Hipotesis :

$$H_0 : P = 0$$

$$H_1 : P \neq 0$$

Statistik uji :

$$r_{x_1x_2} = \frac{\sum_{i=1}^n (x_{1i} - \bar{x}_1)(x_{2i} - \bar{x}_2)}{\sqrt{\sum_{i=1}^n (x_{1i} - \bar{x}_1)^2} \sqrt{\sum_{i=1}^n (x_{2i} - \bar{x}_2)^2}}$$

Tolak  $H_0$  jika  $r_{hitung} > r_{\alpha, n-2}$  yang berarti terdapat hubungan antar variabel.

Analisis  
Kapabilitas

Statistika  
Deskriptif

Peta  
Kendali

Indeks  
Kapabilitas

Proses

Proses  
Produksi

# DISTRIBUSI NORMAL MULTIVARIAT

Suatu distribusi yang diperoleh dari perluasan distribusi Normal Univariat, dimana perbedaannya dilihat dari dimensinya. Apabila terdapat sejumlah  $p$  variabel yang dinyatakan dalam bentuk vektor  $X' = [X_1, X_2, \dots, X_p]$  yang mengikuti distribusi Normal Multivariat maka fungsi kepadatan probabilitasnya adalah sebagai berikut (Johnson & Winchern, 2006).

$$f(x) = \frac{1}{(2\pi)^{\frac{p}{2}} |\Sigma|^{1/2}} e^{-(x-\mu)'\Sigma^{-1}(x-\mu)/2}; \quad -\infty < x_i < \infty$$

Cara mengidentifikasi

Secara **deskriptif** dengan menghitung nilai *square distance* ( $d_j^2$ ) dan membuat *q-q plot*

Analisis  
Kapabilitas

Statistika  
Deskriptif

Peta  
Kendali

Indeks  
Kapabilitas

Proses

Proses

Produksi

# Langkah-langkah Membuat Q-Q Plot

Analisis  
Kapabilitas

Statistika  
Deskriptif

Peta  
Kendali

Indeks  
Kapabilitas

Proses

Proses

Produksi



$$S = \begin{bmatrix} s_{11}^2 & s_{12} & \dots & s_{1p} \\ s_{21} & s_{22}^2 & \dots & s_{2p} \\ \vdots & \vdots & \ddots & \vdots \\ s_{p1} & s_{p2} & \dots & s_{pp}^2 \end{bmatrix}$$

$$\bar{s}_j^2 = \frac{1}{m} \sum_{k=1}^m s_{jk}^2 \quad \bar{s}_{jh} = \frac{1}{m} \sum_{k=1}^m s_{jkh}$$

$$q = \chi_{p; ((n-j+0,5)/n)}^2$$

$$d_{\ell}^2 = (\mathbf{x}_{\ell j} - \bar{\mathbf{x}}_j)^T S^{-1} (\mathbf{x}_{\ell j} - \bar{\mathbf{x}}_j)$$

- Menghitung jarak tergenap basis yang dikuadratkan atau disebut  $d_{\ell}^2$
- Mengurutkan  $d_{\ell}^2$  dari terkecil hingga terbesar
- Meng Data akan mengikuti distribusi multivariat apabila pada q-q
- Meml plot membentuk suatu garis lurus dan nilai-nilai dari  $d_{\ell}^2$  yang kurang dari nilai q sebanyak 50%

Analisis  
Kapabilitas

Statistika  
Deskriptif

Peta  
Kendali

Indeks  
Kapabilitas  
Proses

Proses  
Produksi

**Kapabilitas proses** adalah kemampuan suatu proses untuk menghasilkan suatu produk/ jasa sesuai dengan spesifikasi yang diharapkan

Proses dikatakan telah **kapabel** jika dalam kondisi:

- Terkendali secara statistik
- Memenuhi batas spesifikasi
- Tingkat presisi dan akurasi tinggi (jika nilai  $C_p > 1$ )

$$C_p = \frac{K}{\chi^2_{\alpha, df}} \left[ \frac{(m-1)p}{h} \right]^{\frac{1}{2}}$$



$$h = \sum_{i=1}^m (X_i - \bar{X}) A^{-1} (X_i - \bar{X})$$

$$A^{-1} = (X_i^T X_i)^{-1}$$

$$K = \sqrt{(X_i - \zeta_j)^T V_0^{-1} (X_i - \zeta_j)}$$

$$\zeta = \frac{1}{2} (BSA + BSB)$$

JIKA PROSES  
TERKENDALI

Analisis  
Kapabilitas

Statistika  
Deskriptif

Peta  
Kendali

Indeks  
Kapabilitas  
Proses

Proses  
Produksi

Indeks kapabilitas yang disarankan oleh *Automotive Industry Action Group (AIAG)* untuk proses dalam keadaan *in control* adalah  $C_p$  dan  $C_{pk}$  sedangkan untuk proses yang tidak dalam keadaan *in control*, lebih baik digunakan, indeks *performance process*  $P_p$  dan  $P_{pk}$

$$P_p = \frac{BSA - BSB}{6\hat{\sigma}_{overall}}$$

$$P_{pk} = \min \left\{ \frac{BSA - \bar{x}}{3\hat{\sigma}_{overall}}, \frac{\bar{x} - BSB}{3\hat{\sigma}_{overall}} \right\}$$

JIKA PROSES  
TIDAK  
TERKENDALI

UNIVARIAT

MULTIVARIAT

$$MPP = \sum_{k=1}^p W_k PP(X_k)$$

$$MPPK = \sum_{k=1}^p W_k PPK(X_k)$$

$$\sum_{k=1}^p W_k = 1$$

Pengend.  
Kualitas  
Statistik  
Analisis  
Multivariat  
Peta  
Kendali  
Kapabilitas  
Proses  
Diagram  
Ishikawa  
Proses  
Produksi

# PROSES PRODUKSI PUPUK SUPER DOLOMIT



Konsesi pertambangan PT Polowijo Gosari terletak di **Kawasan Bukit Sekapuk** dan Kaklak, Kecamatan Ujung Pangkah, Kabupaten Gresik, Jawa Timur. Kawasan yang memiliki luas **365,525 Ha.** ini mengandung **batuan dolomit** berkualitas tinggi dengan **kadar MgO** yang berkisar antara **18% – 22%**

Penerimaan  
bahan baku

Proses  
Produksi  
(Filter)

Pengantongan  
(finishing)

# PROSES PRODUKSI PUPUK SUPER DOLOMIT

Analisis  
Kapabilitas

Statistika  
Deskriptif

Peta  
Kendali

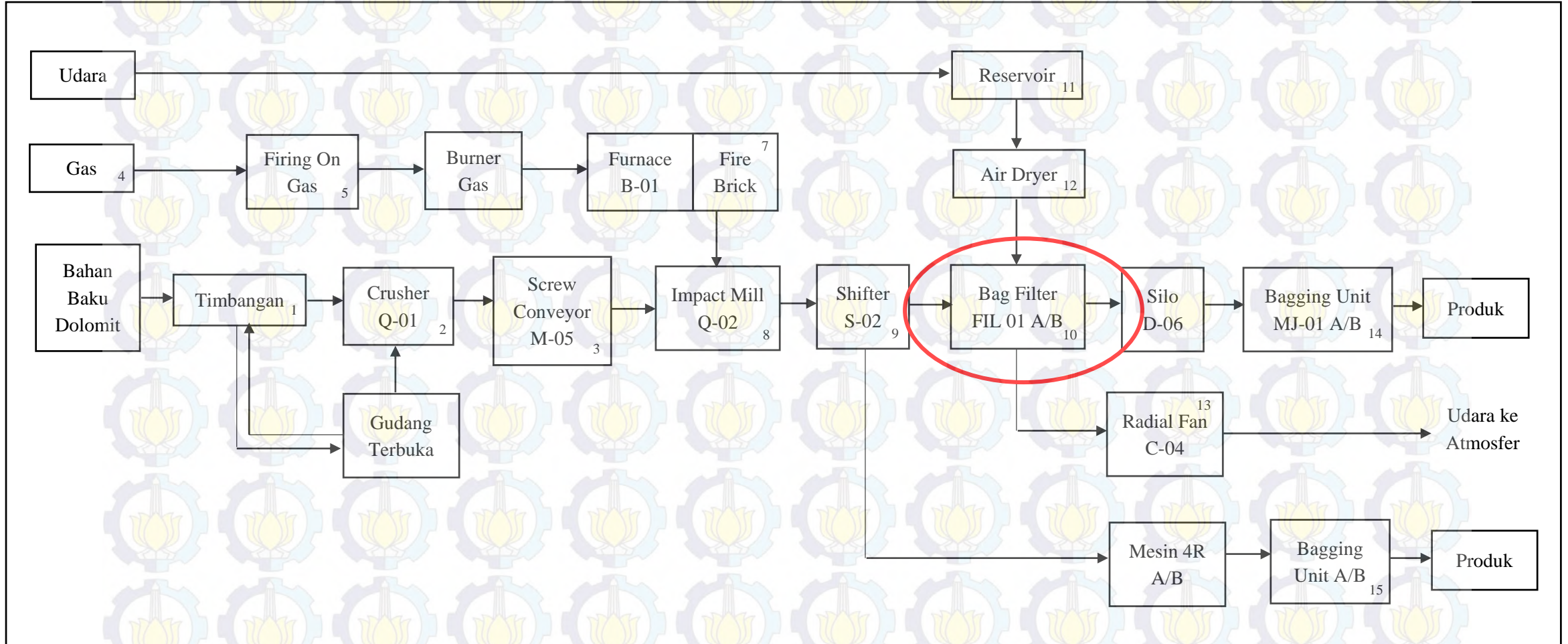
Indeks  
Kapabilitas

Proses

Proses  
Produksi

| No                              | Kegiatan                                 | No                              | Kegiatan   |
|---------------------------------|--|---------------------------------|--|
| <b>Penerimaan Bahan Baku</b>    |  | 7                               | Pengaturan suhu pengeringan                      |
| 1                               | Pemeriksaan fisik                        | 8                               | Penggilingan/penghalusan                         |
|                                 | Penimbangan                              | 9                               | Pengayakan                                       |
|                                 | Pemeriksaan kadar                        | 10                              | Sesudah penghalusan dan pengeringan (Filter Bag) |
| <b>Proses Produksi (Filter)</b> |  | 11                              | Penampungan udara penghantar                     |
| 2                               | Umpan BB ke Pemecahan                    | 12                              | Pengeringan udara penghantar                     |
| 3                               | Pemasukan BB ke penggilingan/penghalusan | 13                              | Penghisapan udara                                |
| 4                               | Pemasukan gas CNG                        | <b>Pengantongan (Finishing)</b> |  |
| 5                               | Penurunan tekanan gas                    | 14                              | Pemotongan (Bagging) Super Dolomit               |
| 6                               | Pengaturan nyala                         | 15                              | Pemotongan Mesin 4R-A/B (Bagging)                |

# PETA PROSES PRODUKSI PUPUK SUPER DOLOMIT



Sumber : Rencana Mutu PT Polowijo Gosari

The background features a grid of repeating logos, each consisting of a gear with a lotus flower inside. The logos are semi-transparent and come in various colors including yellow, blue, green, and purple. In the foreground, there are several colorful balloons in shades of purple, blue, red, and green, some of which are out of focus.

# METODOLOGI PENELITIAN

**Sumber Data**

Data **Sekunder** → Dept. Quality Assurance (QA)

**Struktur Data**

**Variabel Penelitian**

Disampling **4x per shift** setiap 2 jam, terdapat 3 shift, per shift 8 jam kerja

**Langkah Analisis**

**Fase 1 : Desember 2015**  
(22 hari, 66 subgrup, 264 sampel)  
**Fase 2 : Januari 2016**  
(20 hari, 60 subgrup, 240 sampel)

**Diagram Alir**

QUALITY ASSURANCE  
MONITORING



**PT. POLOWIJO GOSARI**  
Fertilizer, Minerals & Agroindustries

Sumber Data

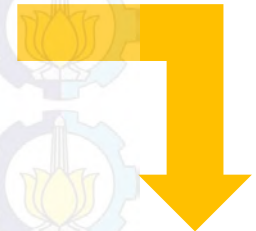
Struktur Data

Variabel Penelitian

Langkah Analisis

Diagram Alir

| Shift (m)             | Sampel per shift(n) | Karakteristik Kualitas Variabel (p) |                                  |
|-----------------------|---------------------|-------------------------------------|----------------------------------|
|                       |                     | H <sub>2</sub> O (X <sub>1</sub> )  | US Mesh-100 (X <sub>3</sub> )    |
| 1                     | 1                   | X <sub>111</sub>                    | X <sub>121</sub>                 |
|                       | i                   | X <sub>i11</sub>                    | X <sub>i21</sub>                 |
|                       | ⋮                   | ⋮                                   | ⋮                                |
|                       | 4                   | X <sub>411</sub>                    | X <sub>421</sub>                 |
|                       | $\bar{X}$           | $\bar{X}_{.11}$                     | $\bar{X}_{.21}$                  |
|                       | S <sup>2</sup>      | S <sup>2</sup> <sub>.11</sub>       | S <sup>2</sup> <sub>.21</sub>    |
| ⋮                     | ⋮                   | ⋮                                   | ⋮                                |
| k                     | 1                   | X <sub>11k</sub>                    | X <sub>12k</sub>                 |
|                       | i                   | X <sub>i11</sub>                    | X <sub>i21</sub>                 |
|                       | ⋮                   | ⋮                                   | ⋮                                |
|                       | 4                   | X <sub>411</sub>                    | X <sub>421</sub>                 |
|                       | $\bar{X}$           | $\bar{X}_{.1k}$                     | $\bar{X}_{.2k}$                  |
|                       | S <sup>2</sup>      | S <sup>2</sup> <sub>.1k</sub>       | S <sup>2</sup> <sub>.2k</sub>    |
| ⋮                     | ⋮                   | ⋮                                   | ⋮                                |
| 126                   | 1                   | X <sub>111</sub>                    | X <sub>121</sub>                 |
|                       | i                   | X <sub>i11</sub>                    | X <sub>i21</sub>                 |
|                       | ⋮                   | ⋮                                   | ⋮                                |
|                       | 4                   | X <sub>411</sub>                    | X <sub>421</sub>                 |
|                       | $\bar{X}$           | $\bar{X}_{.1;126}$                  | $\bar{X}_{.2;126}$               |
|                       | S <sup>2</sup>      | S <sup>2</sup> <sub>.1;126</sub>    | S <sup>2</sup> <sub>.2;126</sub> |
| Rata-rata keseluruhan |                     | $\bar{\bar{X}}_{.1}$                | $\bar{\bar{X}}_{.2}$             |
| Varian keseluruhan    |                     | S <sup>2</sup> <sub>.1.</sub>       | S <sup>2</sup> <sub>.2.</sub>    |



m = 126  
n = 4  
p = 2

# MESH TO MICRON CONVERSION CHART

Sumber Data

| No | Variabel         |
|----|------------------|
| 1  | H <sub>2</sub> O |
| 2  | US Mesh-100      |

Struktur Data

Variabel Penelitian

Langkah Analisis

Diagram Alir



|     |        |     |       |
|-----|--------|-----|-------|
| 100 | 0.0059 | 149 | 0.149 |
|-----|--------|-----|-------|



| U.S. MESH | INCHES | MICRONS | MILLIMETERS |
|-----------|--------|---------|-------------|
| 3         | 0.2650 | 6730    | 6.730       |
| 4         | 0.1870 | 4760    | 4.760       |
| 5         | 0.1570 | 4000    | 4.000       |
| 6         | 0.1320 | 3360    | 3.360       |
| 7         | 0.1110 | 2830    | 2.830       |
| 8         | 0.0937 | 2380    | 2.380       |
| 10        | 0.0787 | 2000    | 2.000       |
| 12        | 0.0661 | 1680    | 1.680       |
| 14        | 0.0555 | 1410    | 1.410       |
| 16        | 0.0469 | 1190    | 1.190       |
| 18        | 0.0394 | 1000    | 1.000       |
| 20        | 0.0331 | 841     | 0.841       |
| 25        | 0.0280 | 707     | 0.707       |
| 40        | 0.0165 | 400     | 0.400       |
| 45        | 0.0138 | 354     | 0.354       |
| 50        | 0.0117 | 297     | 0.297       |
| 60        | 0.0098 | 250     | 0.250       |
| 70        | 0.0083 | 210     | 0.210       |
| 80        | 0.0070 | 177     | 0.177       |
| 100       | 0.0059 | 149     | 0.149       |
| 120       | 0.0049 | 125     | 0.125       |
| 140       | 0.0041 | 105     | 0.105       |
| 170       | 0.0035 | 88      | 0.088       |
| 200       | 0.0029 | 74      | 0.074       |
| 230       | 0.0024 | 63      | 0.063       |
| 270       | 0.0021 | 53      | 0.053       |
| 325       | 0.0017 | 44      | 0.044       |
| 400       | 0.0015 | 37      | 0.037       |

**Sumber Data**

Menghitung statistika deskriptif (rata-rata, varians, minimum, maksimum, histogram)

Membuat peta kendali  $T^2$  Hotelling dan *Generalized Variance* dengan fase 1 (Desember 2015) dan fase 2 (Januari 2016)

**Struktur Data**

1

2

**Variabel Penelitian**

Melakukan pengujian MANOVA, untuk mengetahui apakah terdapat perbedaan antar *shift*.

Melakukan pengujian MANOVA, untuk mengetahui apakah terdapat perbedaan antar fase.

**Langkah Analisis**

Melakukan pengujian dependensi variabel dengan metode korelasi *pearson* untuk mengetahui apakah kedua karakteristik kualitas dependen atau independen.

**Diagram Alir**

Melakukan pemeriksaan distribusi normal multivariat untuk mengetahui apakah data dari variabel yang diamati telah mengikuti pola distribusi normal multivariat.

**Sumber  
Data**

**Struktur  
Data**

**Variabel  
Penelitian**

**Langkah  
Analisis**

**Diagram  
Alir**



3  
Menentukan indeks  
kapabilitas proses

Menginterpretasikan  
hasil analisis.  
4

5  
Kesimpulan dan  
saran.

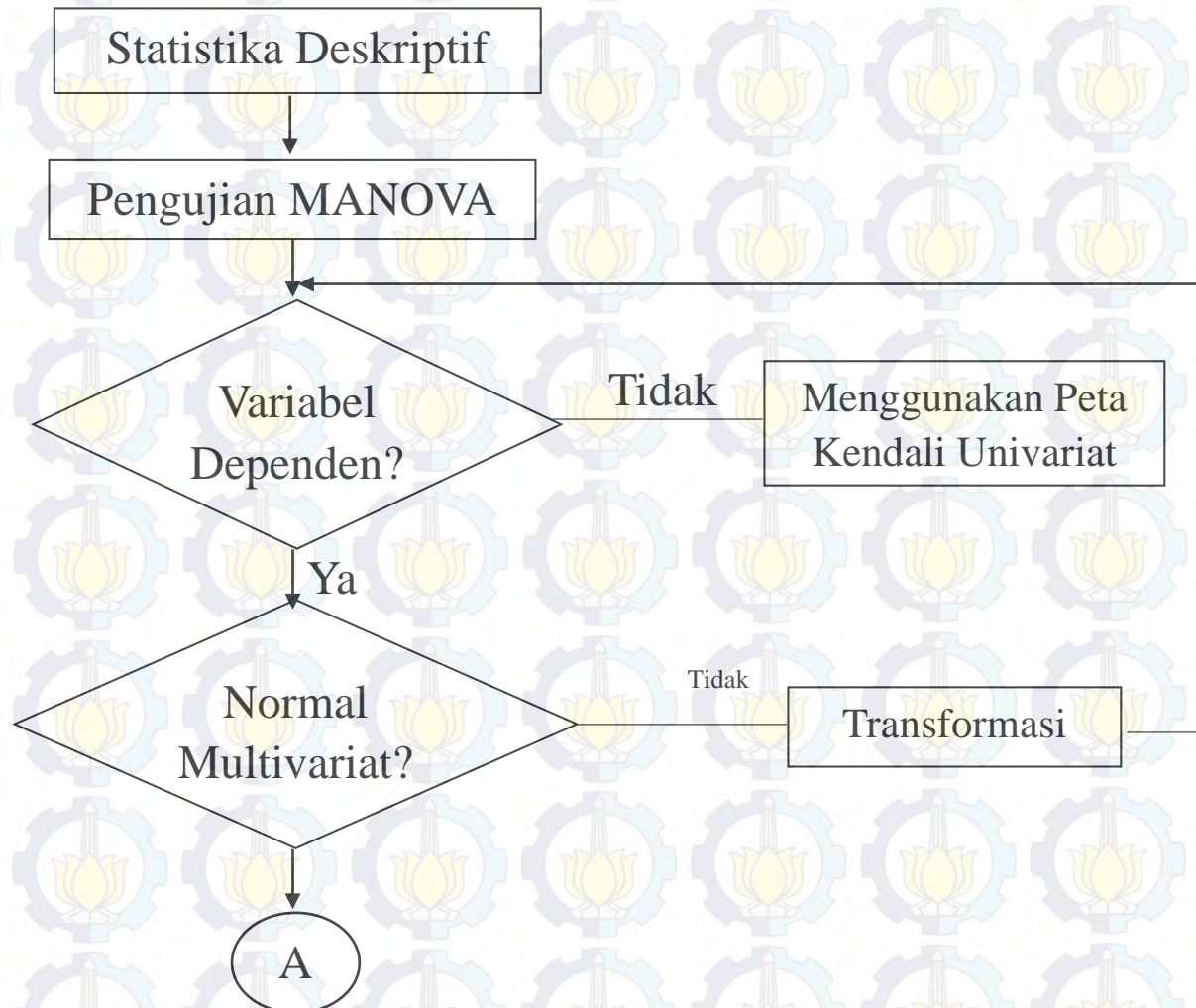
Sumber  
Data

Struktur  
Data

Variabel  
Penelitian

Langkah  
Analisis

Diagram  
Alir



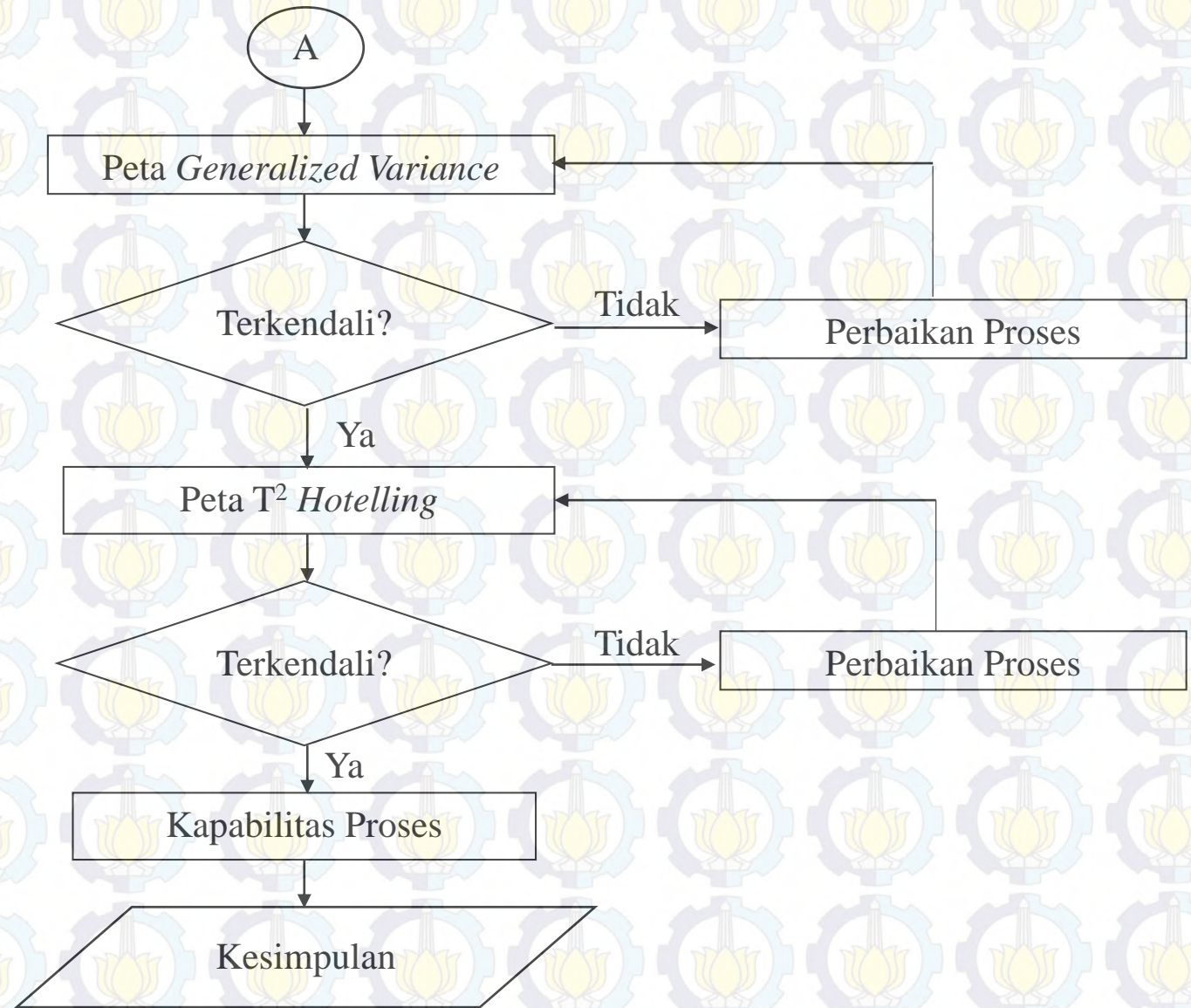
Sumber  
Data

Struktur  
Data

Variabel  
Penelitian

Langkah  
Analisis

Diagram  
Alir



The background features a grid of repeating logos, each consisting of a gear with a lotus flower inside. The logos are semi-transparent and color-coded in a rainbow gradient from left to right. In the foreground, there are several colorful balloons in shades of purple, blue, red, and green, some of which are out of focus. A dark blue horizontal band is positioned across the middle of the image, containing the title text.

# ANALISIS & PEMBAHASAN

# Analisis Kapabilitas

Statistika Deskriptif

Perb. Antar Shift

Perb. Antar fase

Pemeriksaan Asumsi

Pengendalian Kualitas

Penent. Indeks Kapabilitas

## Pengendalian Kualitas

- Pengujian Perbedaan Antar Shift & Fase
- Uji Independensi
- Pemeriksaan Distribusi Normal Multivariat
- Pengendalian Variansi Proses (Peta Kendali Generalized Variance)
- Pengendalian Mean Proses (Peta Kendali  $T^2$  Hotelling)

## Statistika Deskriptif

## Penentuan Indeks Kapabilitas Proses

Analisis  
Kapabilitas

Statistika  
Deskriptif

Perb. Antar  
Shift

Perb.  
Antar fase

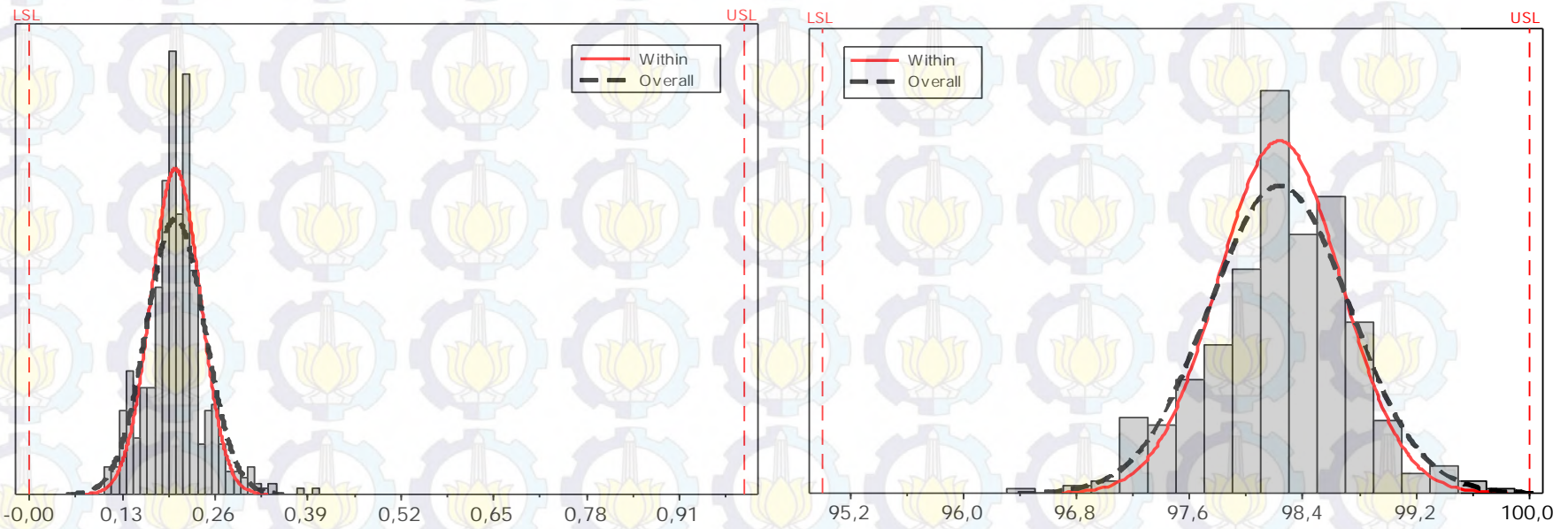
Pemeriksaan  
Asumsi

Pengendalian  
Kualitas

Penent. Indeks  
Kapabilitas

| Variabel         | n   | Rata-rata | Varians | Min.  | Maks. | Batas Spesifikasi |
|------------------|-----|-----------|---------|-------|-------|-------------------|
| H <sub>2</sub> O | 504 | 0,204     | 0,00167 | 0,11  | 0,4   | 0-1%              |
| US<br>MESH-100   | 504 | 98,234    | 0,248   | 96,35 | 99,72 | 95-100%           |

HISTOGRAM



Variabel H<sub>2</sub>O

Variabel US MESH-100

Analisis  
Kapabilitas

Statistika  
Deskriptif

Perb. Antar  
Shift

Perb.  
Antar fase

Pemeriksaan  
Asumsi

Pengendalian  
Kualitas

Penent. Indeks  
Kapabilitas

## Pengujian Homogenitas Varians

Hipotesis

$$H_0 : \Sigma_1 = \Sigma_2 = \Sigma_3$$

$H_1$  : minimal ada satu  $\Sigma_i \neq \Sigma_j$  untuk  $i \neq j$

| $df_1$ | $df_2$      | $F_{hit}$ | P-Value | $F_{0,05;6;1697784,923}$ |
|--------|-------------|-----------|---------|--------------------------|
| 6      | 1697784,923 | 2,968     | 0,007   | 2,099                    |

Tolak  $H_0$ , Minimal ada satu Matriks varians yang tidak sama atau heterogen

## MANOVA One-Way

Hipotesis

$$H_0 : \tau_1 = \tau_2 = \tau_3 = 0$$

$H_1$  : minimal ada satu  $\tau_l \neq 0 ; l = 1,2,3$

| Wilk's Lamda | P-Value |
|--------------|---------|
| 0,962        | 0,037   |

Tolak  $H_0$ , minimal ada satu *shift* kerja yang memberikan perbedaan

Analisis  
Kapabilitas

Statistika  
Deskriptif

Perb. Antar  
Shift

Perb.  
Antar fase

Pemeriksaan  
Asumsi

Pengendalian  
Kualitas

Penent. Indeks  
Kapabilitas

## Pengujian Homogenitas Varians

Hipotesis

$$H_0 : \Sigma_1 = \Sigma_2$$

$H_1$  : minimal ada satu  $\Sigma_i \neq \Sigma_j$  untuk  $i \neq j$

| df <sub>1</sub> | df <sub>2</sub> | F <sub>hit</sub> | P-Value | F <sub>0,05;6;1697784,923</sub> |
|-----------------|-----------------|------------------|---------|---------------------------------|
| 3               | 63670106,401    | 0,915            | 0,433   | 2,065                           |

Gagal Tolak  $H_0$ ,  
matriks varians  
homogen

## MANOVA One-Way

Hipotesis

$$H_0 : \tau_1 = \tau_2 = 0$$

$H_1$  : minimal ada satu  $\tau_l \neq 0 ; l = 1,2$

| Wilk's Lamda | P-Value |
|--------------|---------|
| 0,997        | 0,483   |

Gagal Tolak  $H_0$ ,  
pembagian fase tidak  
memberikan  
perbedaan

Analisis  
Kapabilitas

Statistika  
Deskriptif

Perb. Antar  
Shift

Perb.  
Antar fase

Pemeriksaan  
Asumsi

Pengendalian  
Kualitas

Penent. Indeks  
Kapabilitas

## Uji Independensi

Hipotesis

$H_0 : \rho = 0$  (variabel H<sub>2</sub>O dan US MESH-100 tidak ada hubungan)

$H_1 : \rho \neq 0$  (variabel H<sub>2</sub>O dan US MESH-100 ada hubungan)

| r     | $R_{0,05;502}$ |
|-------|----------------|
| 0,220 | 0,088          |

Variabel H<sub>2</sub>O  
dan US MESH-  
100 ada  
hubungan

## Pemeriksaan Distribusi Normal Multivariat

$t = 0,55$

Data proses produksi pupuk  
super dolomit mengikuti  
distribusi normal multivariat

Analisis  
Kapabilitas

Statistika  
Deskriptif

Perb. Antar  
Shift

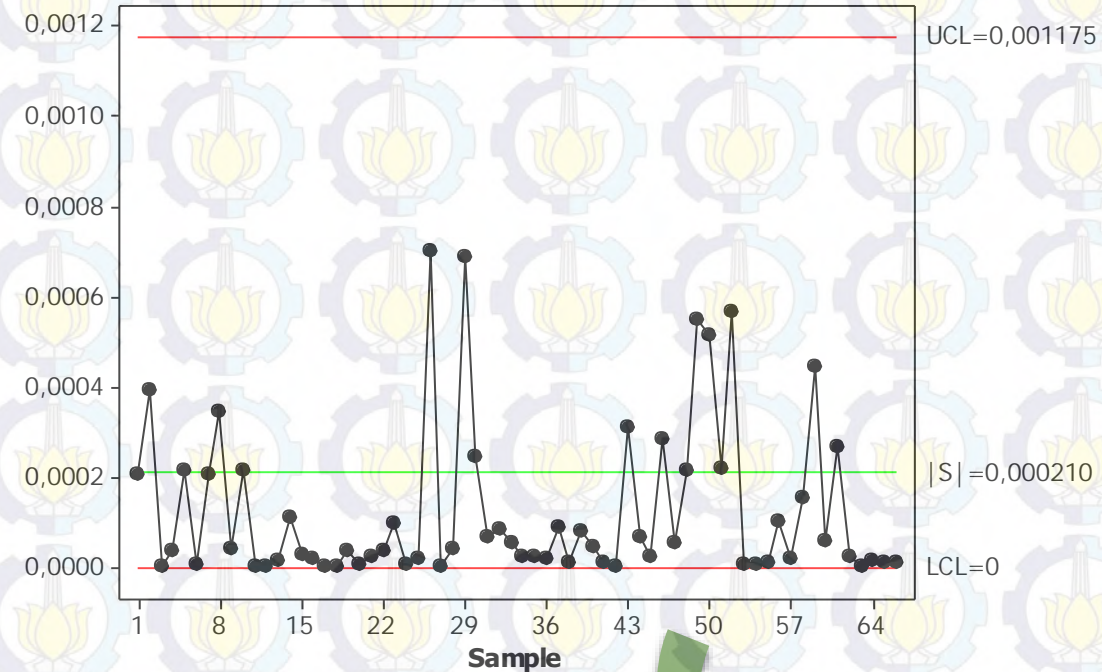
Perb.  
Antar fase

Pemeriksaan  
Asumsi

Pengendalian  
Kualitas

Penent. Indeks  
Kapabilitas

## Peta Kendali Generalized Variance Fase 1



**Variansi** proses  
produksi pupuk  
super dolomit fase  
1 telah **terkendali**

Analisis  
Kapabilitas

Statistika  
Deskriptif

Perb. Antar  
Shift

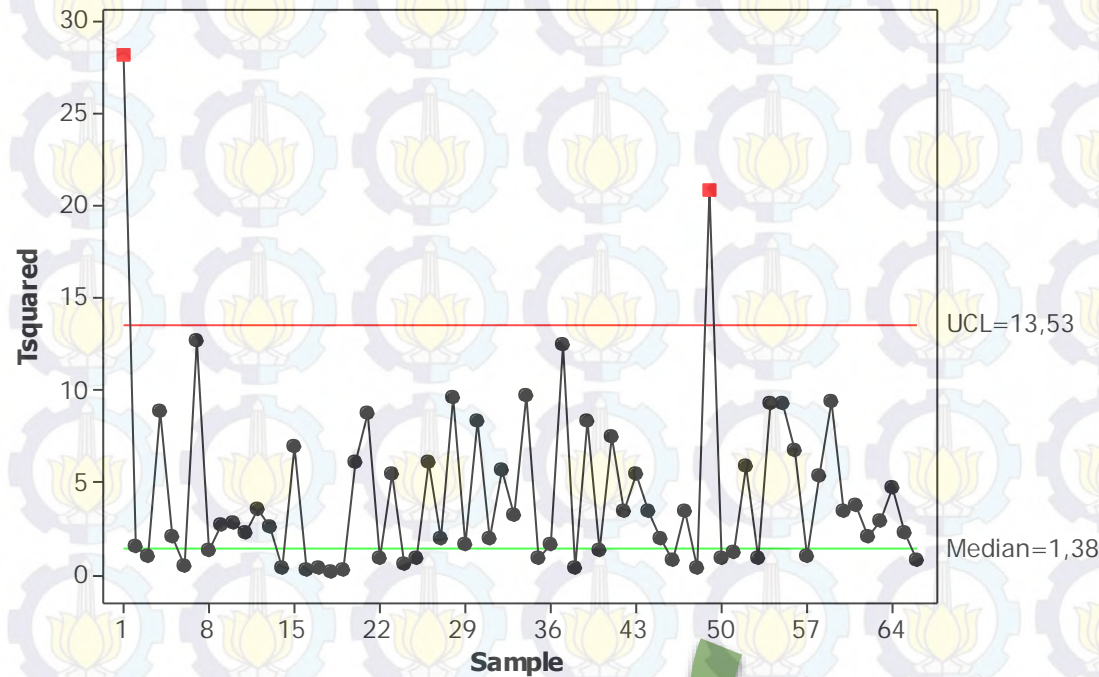
Perb.  
Antar fase

Pemeriksaan  
Asumsi

Pengendalian  
Kualitas

Penent. Indeks  
Kapabilitas

## Peta Kendali T<sup>2</sup> Hotelling Fase 1



**Mean** proses  
produksi pupuk  
super dolomit fase

1 telah **tidak  
terkendali**

(out of control)

Pengamatan  
ke-1 dan 49

(mendekati UCL)

Pengamatan  
ke-7 dan 37

Analisis  
Kapabilitas

Statistika  
Deskriptif

Perb. Antar  
Shift

Perb.  
Antar fase

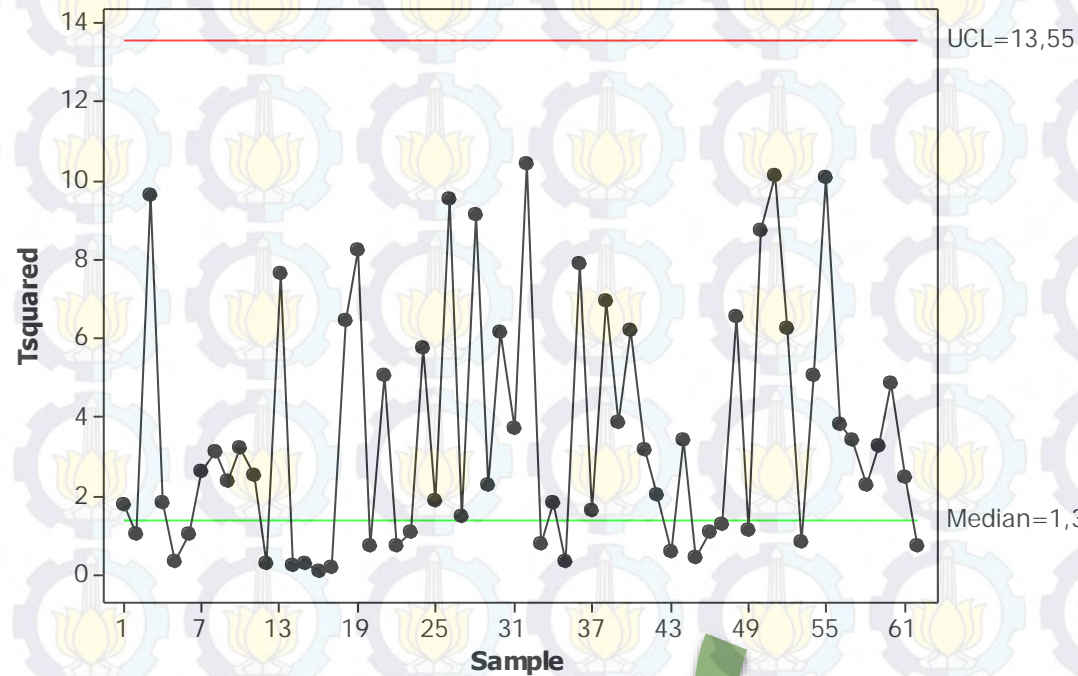
Pemeriksaan  
Asumsi

Pengendalian  
Kualitas

Penent. Indeks  
Kapabilitas

## Peta Kendali

### T<sup>2</sup> Hotelling Fase 1 Iterasi 1



**Mean** proses  
produksi pupuk  
super dolomit fase  
1 telah iterasi 1  
**terkendali**

Analisis  
Kapabilitas

Statistika  
Deskriptif

Perb. Antar  
Shift

Perb.  
Antar fase

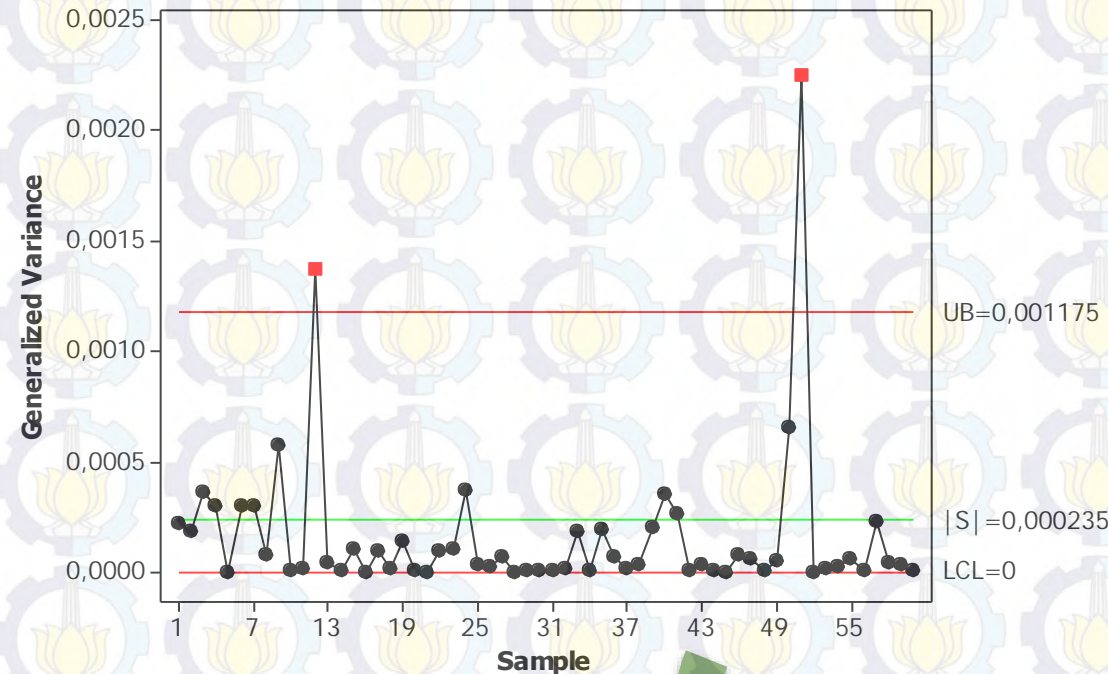
Pemeriksaan  
Asumsi

Pengendalian  
Kualitas

Penent. Indeks  
Kapabilitas

## Peta Kendali

### Generalized Variance Fase 2



**Varians** proses  
produksi pupuk  
super dolomit  
fase 2  
**tidak terkendali**

Analisis  
Kapabilitas

Statistika  
Deskriptif

Perb. Antar  
Shift

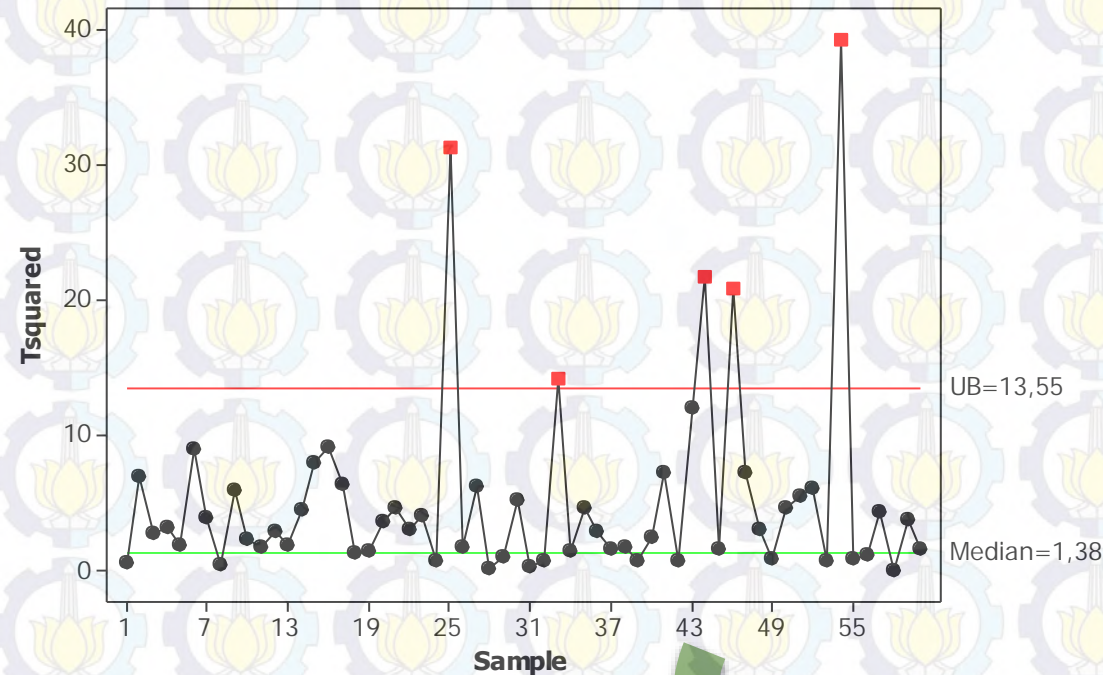
Perb.  
Antar fase

Pemeriksaan  
Asumsi

Pengendalian  
Kualitas

Penent. Indeks  
Kapabilitas

## Peta Kendali T<sup>2</sup> Hotelling Fase 2



**Mean** proses  
produksi pupuk  
super dolomit  
fase 2  
**tidak terkendali**

Analisis  
Kapabilitas

Statistika  
Deskriptif

Perb. Antar  
Shift

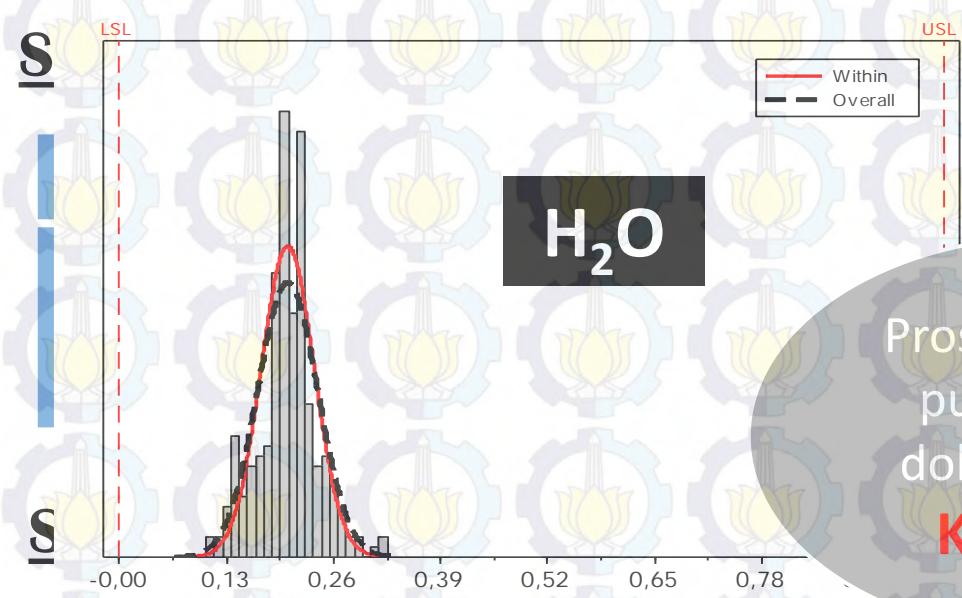
Perb.  
Antar fase

Pemeriksaan  
Asumsi

Pengendalian  
Kualitas

Penent. Indeks  
Kapabilitas

### Fase 1



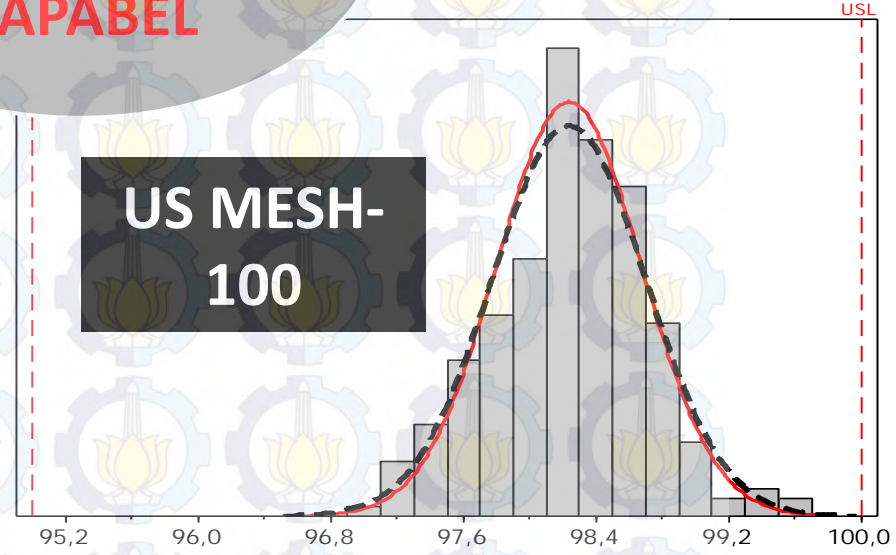
H<sub>2</sub>O

Terlalu  
besar

Proses produksi  
pupuk super  
dolomit fase 1  
**KAPABEL**

Univariat

| Variabel         | Fase 1         |                 |
|------------------|----------------|-----------------|
|                  | C <sub>p</sub> | C <sub>pk</sub> |
| H <sub>2</sub> O | 5,16           | 2,11            |
| US MESH-100      | 1,9            | 1,34            |



US MESH-  
100

Analisis  
Kapabilitas

Statistika  
Deskriptif

Perb. Antar  
Shift

Perb.  
Antar fase

Pemeriksaan  
Asumsi

Pengendalian  
Kualitas

Penent. Indeks  
Kapabilitas

Fase 2

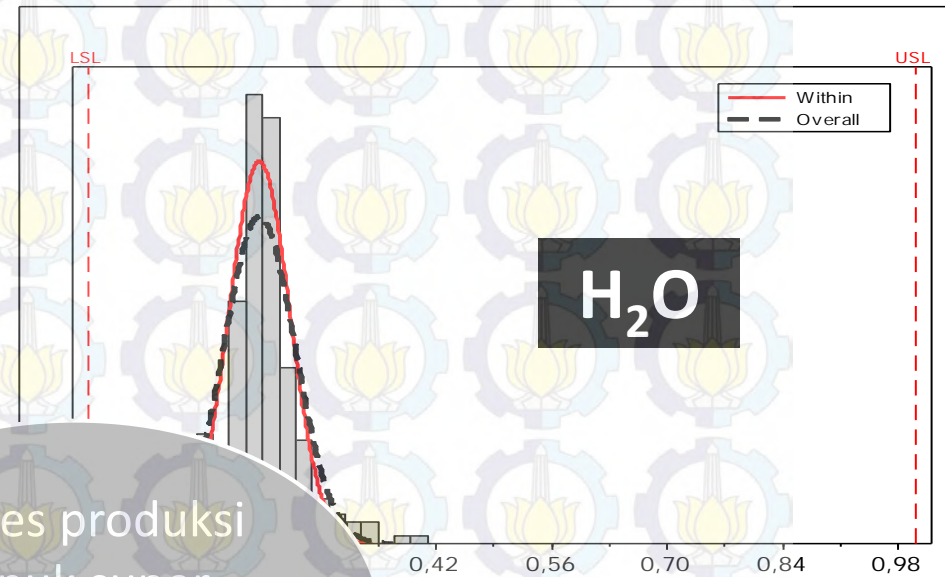
Secara Univariat

| Variabel         | Fase 2 |   |
|------------------|--------|---|
|                  | $P_p$  | P |
| H <sub>2</sub> O | 3,88   |   |
| US MESH-100      | 1,65   |   |

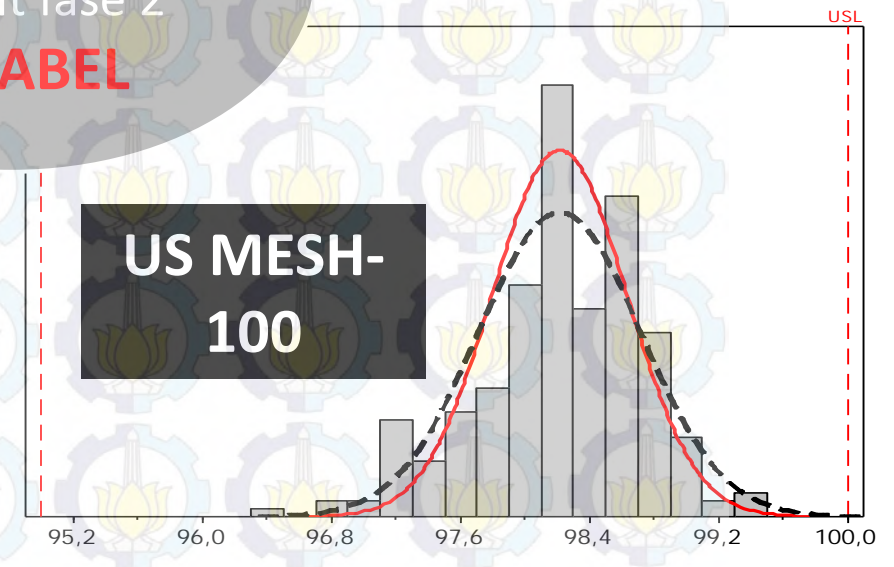
Secara Multivariat

$$MP_p = (0,5 \times 3,88) + (0,5 \times 1,65) = 2,765$$

$$MP_{pk} = (0,5 \times 1,6) + (0,5 \times 1,18) = 1,39$$



Proses produksi  
pupuk super  
dolomit fase 2  
**KAPABEL**





# KESIMPULAN & SARAN

## KESIMPULAN

FASE 1  
(Desember 2015)

$C_p = 3,53$

$P_p = 2,765$

FASE 2  
(Januari 2016)

KAPABEL

## SARAN

dilakukan pendataan tentang segala hal yang terjadi saat produksi, jika terjadi ketidaksesuaian agar dapat diketahui penyebabnya dan dilakukan proses perbaikan. Serta perusahaan dianjurkan menggunakan analisis statistika dalam melakukan pengendalian setiap proses produksi untuk mengetahui variabilitas dan karakteristik kualitas produksi pupuk super dolomit di tiap bulannya, apakah terjadi peningkatan kualitas yang membaik atau memburuk, karena meskipun hasil pengamatan semua masuk dalam batas spesifikasi namun setelah dianalisis masih terdapat pengamatan yang tidak terkendali. Dengan adanya evaluasi kualitas tersebut maka dapat diambil langkah strategis untuk melakukan perbaikan berkesinambungan pada kualitas produk pupuk super dolomit, sehingga dapat memperkecil jumlah produk cacat serta kualitas produksi selalu dalam keadaan terkendali dan kapabel.

The background features a grid of repeating logos, each consisting of a gear with a lotus flower inside. The logos are semi-transparent and color-coded in a rainbow gradient from left to right. On the right side, there are several colorful balloons in shades of purple, blue, red, and green, some of which are out of focus.

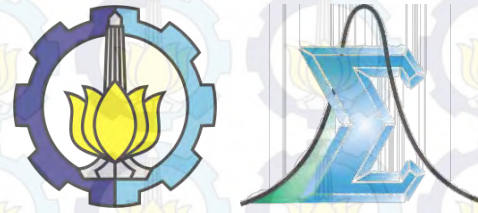
# DAFTAR PUSTAKA

# Daftar Pustaka

- Arsyad, S. (2000). *Konservasi Tanah dan Air*. IPB Press: Bogor
- Gosari, P. (n.d.). *Pupuk Super dolomit dan Company Profile PT Polowijo Gosari*. Retrieved from <http://www.polowijo-gosari.com>
- Heizer, J., & Render B. (2009). *Operation Management*. Salemba Empat: Jakarta
- Johnson, R. A., & Wichern, D. (2007). *Applied Multivariate Statistical Analysis*. New Jersey: Prentice Hall.
- Kotz, S., & Johnson, N.L. (1993). *Process Capability Indices*. Suffolk: Chapman & Hall
- Kurnia, J. D. (2013). *Analisis Kapabilitas Proses Produksi Monosodium Glutamat (MSG) di PT. Ajinomoto Indonesia*. Surabaya: Statistika FMIPA ITS
- Maharani, M. D. (2012). *Size Reduction (Pengecilan Ukuran)*. Universitas Brawijaya: Malang
- Montgomery, D. C. (2009). *Introduction to Statistical Quality Control, Sixth Edition*. United States of America.
- Mufidah, A. S. (2014). *Pengendalian Kualitas Statistik Produk Pupuk Phonska di PT Petrokimis Gresik Tbk*. Surabaya: Statistika FMIPA ITS.
- Raissi, S. (2009). Multivariate process capability indices on the presence of priority for quality characteristics. *Journal of Industrial Engineering International*, Vol. 5, No. 9, 27-36.
- Setiawan, & Kusri, D. E. (2010). *Ekonometrika*. Yogyakarta: ANDI OFFSET.
- Suriadikarta, D. A., Setyorini, D., & Hartatik, W. (2004). *Uji Mutu dan Efektivitas Pupuk Alternatif Anorganik, Edisi Pertama*. Bogor: Balai Penelitian Tanah, Puslitbangtanak, Badan Penelitian dan Pengembangan Pertanian.
- Sweco (n.d.). *Particle Size to Screen Mesh Conversion Chart*. Retrived from [http://www.sweco.com/pdf/p\\_pro\\_wiremesh\\_table1.pdf](http://www.sweco.com/pdf/p_pro_wiremesh_table1.pdf)
- Walpole, R. E., dkk. (2012). *Probability & Statistics for Engineers & Scientists*, Ninth Edition. Pearson Education: Boston



TERIMA KASIH



# Analisis Kapabilitas Proses Produksi Pupuk Super Dolomit di PT Polowijo Gosari Gresik

**Disusun Oleh :**

Dimas Fashihatn

1313030037

**Dosen Pembimbing :**

Dra. Lucia Aridinanti, MT

**PROGRAM STUDI DIPLOMA III  
JURUSAN STATISTIKA**

**FAKULTAS MATEMATIKA DAN ILMU PENGETAHUAN ALAM  
INSTITUT TEKNOLOGI SEPULUH NOPEMBER  
SURABAYA 2016**

